

Modellierung Bewegter Objekte in Dynamischen Umgebungen

Daniel Göhring
08.02.2006

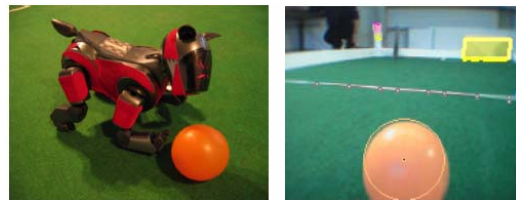
1

Motivation

- Wissen über Position von Objekten notwendig für Handlungsplanung und Kooperation

2

Die Sony-Liga



3

Die Roboter



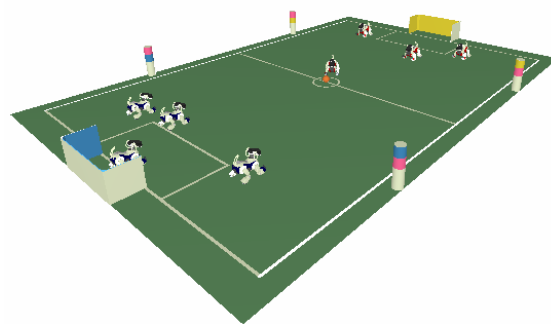
Abb. 1.3: a) Roboter ERS-210 (blau) sowie ERS-210A (rot) b) ERS-7

Kategorie	ERS-210/210A	ERS-7
Kameraauflösung in Pixeln	176*144	208*160
Bildwiederholfrequenz (fps)	25	30
Kameraöffnung vertikal (Grad)	48	44
Kameraöffnung horizontal (Grad)	58	55
CPU (MHz)	200/400	576
RAM (MByte)	32	64

Tab. 1.1: Grobvergleich der Hardware von ERS-210/210A mit ERS-7

4

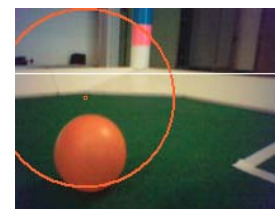
Das Spielfeld



5

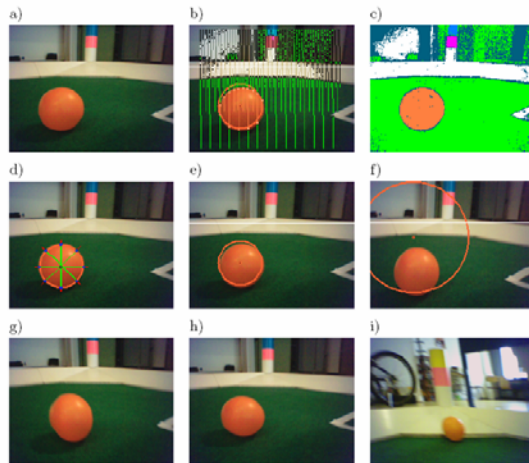
Beschränkungen

- Begrenzte Rechenleistung
- Nur kleiner Ausschnitt der Umwelt wahrnehmbar
- Verrauschte Sensordaten



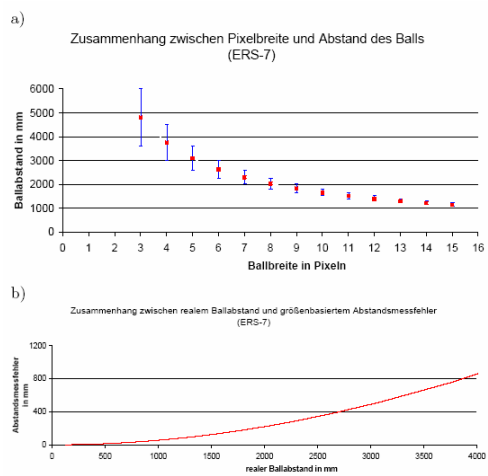
6

Schwierigkeiten in der Bildverarbeitung (Auszug)



7

Fehler durch geringe Kameraauflösung



8

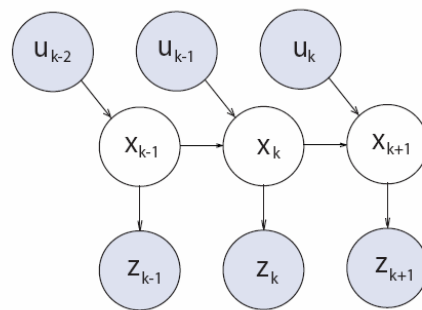
Grundlagen der Objektmodellierung

- Bayesfilter
- Satz von Bayes:
- Objektzustand anhand der Sensordaten vorhersagen
 - aber nicht aller Sensordaten aus der Vergangenheit

$$p(x|Z) = \frac{p(Z|x)P(x)}{p(Z)}$$

9

Hidden Markov Modell



10

Satz von Bayes

$$Bel(x_t) = p(x_t | z_t, u_{t-1}, z_{t-1}, u_{t-2}, \dots, z_1, u_0, z_0)$$

$$\begin{aligned} Bel(x_t) &= \frac{p(z_t | x_t, u_{t-1}, \dots, u_0, z_0) p(x_t | u_{t-1}, \dots, u_0, z_0)}{p(z_t | u_{t-1}, \dots, u_0, z_0)} \\ &= \frac{p(z_t | x_t) p(x_t | u_{t-1}, \dots, u_0, z_0)}{p(z_t | u_{t-1}, \dots, u_0, z_0)} \\ &= \frac{p(z_t | x_t)}{p(z_t | u_{t-1}, \dots, u_0, z_0)} \int p(x_t | x_{t-1}, u_{t-1}, \dots, z_0) p(x_{t-1} | u_{t-2}, \dots, z_0) dx_{t-1} \end{aligned}$$

11

Satz von Bayes (2)

$$Bel^-(x_t) \leftarrow \int p(x_t | x_{t-1} u_{t-1}) Bel(x_{t-1}) dx_{t-1}$$

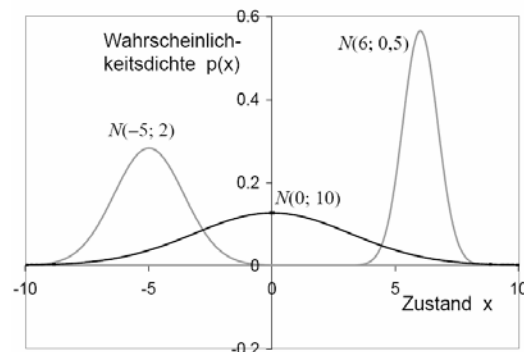
$$Bel(x_t) \leftarrow \eta p(z_t | x_t) Bel^-(x_t)$$

Resultat: Man erhält eine Berechnungsvorschrift in zwei Schritten:
Vorhersage (Prediction) und Aktualisierung (Update)

12

Repräsentation des Objektzustandes

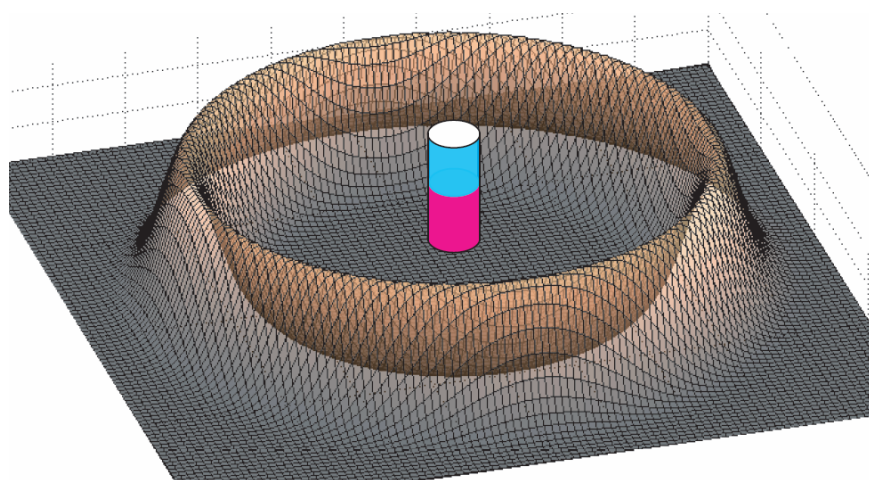
- Gaußverteilung:



$$P(X) = \frac{1}{\sqrt{(2\pi)^n * \det(\Sigma)}} \exp^{-\frac{1}{2}(X-\mu)^T \Sigma^{-1} (X-\mu)}$$

13

Veranschaulichung eines Gauß-Rotationskoerpers



14

Gaußfunktionen

- Fläche unter Funktion ist immer 1,
- Abgeschlossenheit bezüglich Addition und Multiplikation
- Eignung bei weißem Rauschen
- effiziente Berechnung und Repräsentation der
- Parameter ist die Kovarianzmatrix und der Mittelwert

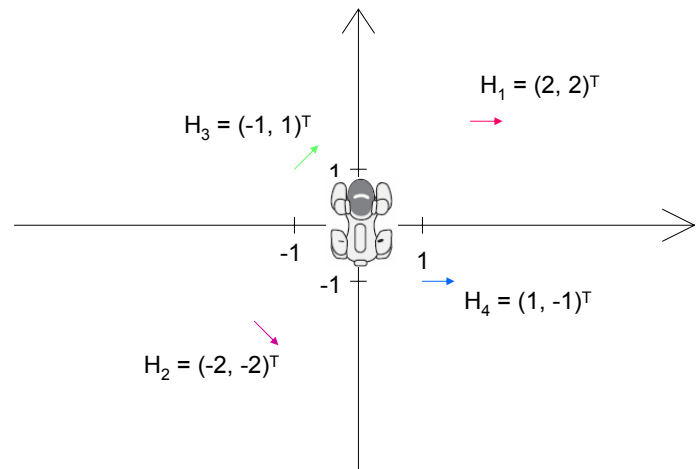
15

Kovarianzmatrix Berechnung

- 4 Hypothesen
- zwei Dimensionen: Position: x,y

16

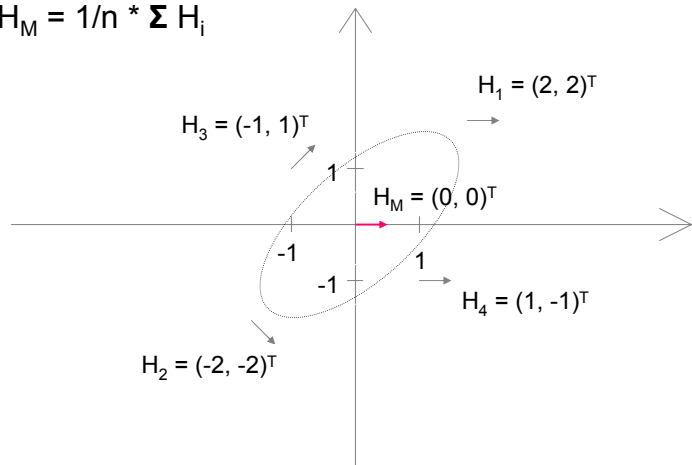
Beispielverteilung



17

Mittelwert

$$H_M = 1/n * \sum H_i$$



18

Kovarianzmatrix

$$S = 1/n * \Sigma (H_M - H_i) * (H_M - H_i)^T$$

- Auf der Hauptdiagonale befinden sich die Varianzen von x und y, auf Nebendiagonale die Kovarianzen.

$$2.5 \quad 1.5$$

$$S = (\quad)$$

$$1.5 \quad 2.5$$

Werte der Kovarianzmatrix können nicht direkt in Werte der Ellipse (Rotation, Halbachsenausdehnung) umgerechnet werden.

Kovarianzmatrix ist immer symmetrisch.

19

Zur Vollständigkeit: Korrelationsmatrix R

- jedes Element $r_{i,j}$ aus R berechnet sich bei gegebenen Elementen $c_{i,j}$ aus S als:

$$r_{i,j} = c_{i,j} * c_{j,i} / (c_{i,i} * c_{j,j})$$

$$1 \quad 0.36$$

$$= (\quad)$$

$$0.36 \quad 1$$

20

Kalmanfilter

- dient der Filterung von Unimodalverteilungen
- Normalverteilungen vorausgesetzt
- Ideal für Zeitdiskrete, lineare Prozesse
- Minimieren den quadratischen Fehler zw. Originaldaten und Abschätzung
- Verwendung der ersten und zweiten Momente

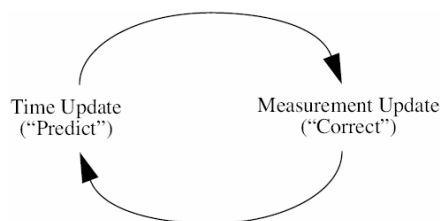
21

Berechnung

- Aus aktuellem, oder Initialzustand wird neuer Zustand vorausberechnet (prediction)
- Dieser a-priori-Zustand wird danach durch Vergleich mit den Sensordaten abgeglichen, der modellierte Objektzustand angepasst

22

Arbeitsweise Kalman



1. Schritt:
Vorausberechnung
der neuen
Ballposition aus der
alten Position
(Modellierung)
2. Korrektur des
berechneten
Wertes durch die
Messung

23

Das Kalmanmodell

1. Vorausberechnung (Prediction):

$$x_k = Ax_{k-1} + Bu_{k-1} + w_{k-1}$$

mit A gelangt man vom Zustand in k-1 zum Zustand in k
B repräsentiert die Kontrollinputmatrix

2. Messung (Measurement):

$$z_k = Hx_k + v_k$$

H beschreibt den Zusammenhang zwischen realem und gemessenem
Zustand

w_k , v_k repräsentieren das Prozess- bzw.
Messungsrauschen (weiß,
normalverteilt)

24

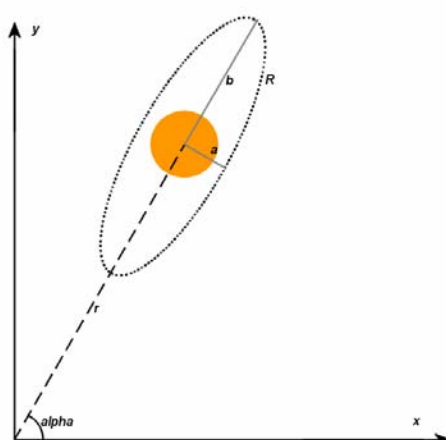
Kalmanmatrizen

- **Q** repräsentiert die Prozessfehlerkovarianzen, je kleiner die Werte von Q, je stabiler arbeitet der Filter
- **R** repräsentiert die Messfehlerkovarianzen, je kleiner die Werte von R, je reaktiver arbeitet der Filter
- P_k repräsentiert die Diskrepanz zwischen Messung und Berechnung in k, jeweils a priori und a posteriori, wird für jeden Schritt neu berechnet

Q, R müssen dem Modell mitgeteilt werden, beibeh. const.,
 x_k wird Anfangs auf z_k initialisiert

25

Beispiel für Messfehlerkovarianzmatrizen **R**



- Entfernungsmessung für den Roboter schwieriger als Abschätzung des Winkels
- Korrelation der einzelnen Messgrößen beachten

26

Auswirkung von Q bzw. R auf die Filterwirkung

R klein
Q groß



R groß
Q klein



27

Berechnungsschleife

Prediction:

$$\begin{aligned} \bar{x}_k &= Ax_{k-1} + Bu_{k-1} \\ \bar{P}_k &= AP_{k-1}A^T + Q \quad // \text{a-priori Fehlerkovarianzmatr.} \end{aligned}$$

Update:

$$\begin{aligned} K_k &= \bar{P}_k H^T (H \bar{P}_k H^T + R)^{-1} \\ x_k &= \bar{x}_k + K_k (z_k - H \bar{x}_k) \\ P_k &= (I - K_k H) \bar{P}_k \quad // \text{a-post. Fehlerkovarianzmatr.} \end{aligned}$$

K wird gemeinhin als das Kalmangain bez.

28

Vor-/Nachteile

- Messfehlerkov.-mat. R ist leicht aus Eingangsdaten zu ermitteln
- für verschiedene Ballentfernungen
- Prozessfehlerkov.-matrix hingegen schwierig
- Deckenkamera notwendig als Kontrolle von außen
- keine Repräsentation von Negativinformation möglich

29

Probleme (2)

- Messfehler nicht konstant
 - Entfernungsfehler steigt quadratisch mit wachsender Ballentfernung
 - Winkelfehler steigt bei Kopfbewegung
- also Messfehlerkovarianzmatrix R variabel gestalten

$$\text{Wdh.: Update: } K_k = P_k^{-1} H^T (H P_k^{-1} H^T + \mathbf{R})^{-1}$$

30

Implementationsbeispiel

- Eindimensionaler Kalmanfilter für x :

Bsp.: Für x :

$$\begin{aligned} S_x^- &= S_x + V_x \\ P_x^- &= P_x + Q_x \\ K_x &= P_x^- * (P_x^- + R_x)^{-1} \\ S_x &= S_x^- + K_x * (Z_x - S_x^-) \\ P_x &= (I - K_x) * P_x^- \end{aligned}$$

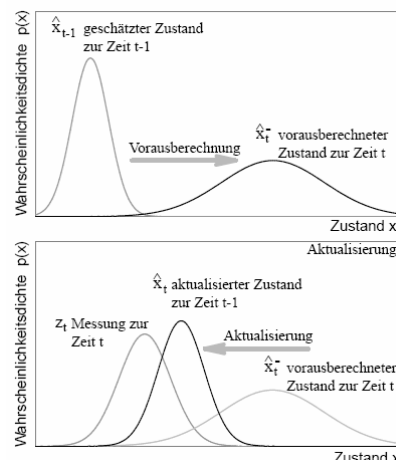
31

Vor-/Nachteile

- sehr effiziente Berechnung auch bei höherdimensionalen Räumen
- Aber nur lineare Prozesse, Erweiterungen: Extended KF (Linearisierung durch Taylorpolynome), Uncented Kalmanfilter, weitere statistische Betrachtungen zur Linearisierung nichtlin. Prozesse
- ein Kalmanfilter kann nur ein einzelnes Objekt modellieren (unimodalverteilungen)
- Multihypothesenmodelle, beliebige Verteilungen nur schwer oder gar nicht darstellbar

32

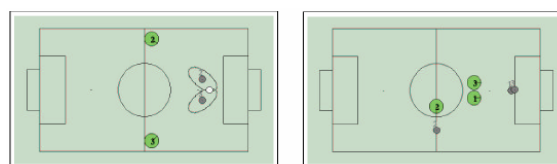
Arbeitsweise Schematisch



33

Anwendungsbeispiel Multiagentenmodellierung

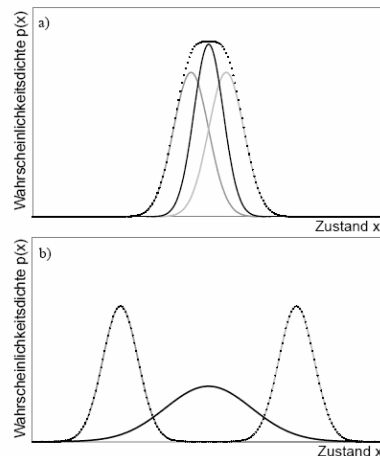
3 Agenten fusionieren ihr Wissen über die Ballposition



Quelle: Dietl, Gutmann (2002)

34

Kalmanfilter für die Fusion von Belief-Funktionen



35

Weitere Möglichkeiten zur Objektmodellierung

- Rasterbasierte Verfahren – keine Einschränkung für die Verteilungsfunktion, diskret, begrenzte Auflösung
- Multihypothesentracking – viele Kalmanfilter, jeder für eine Hypothese
- Partikelfilter: beliebige Wahrscheinlichkeitsdichtefunktionen werden durch Partikelverteilungen repräsentiert
- Kombinationen aus verschiedenen Verfahren für verschiedene Parameter des Zustandsraumes – Rao-Blackwellized Partikelfilter

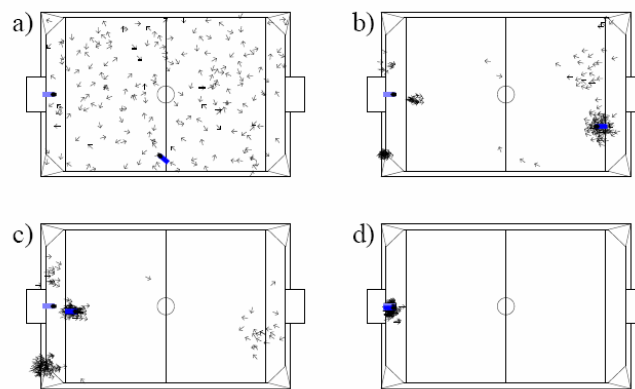
36

Monte Carlo Partikelfilter

- Jeder Partikel (entspricht Hypothese) hat Position und Wahrscheinlichkeit
- Anzahl der Partikel in einem bestimmten Gebiet gibt Auskunft über den Wert der Wahrscheinlichkeitsdichtefunktion an dieser Stelle

37

Beispiel für Konvergenz der Partikel



38

Ablauf

- Geg.: Partikelverteilung
- Propagierung der Partikel – Prediction
 - z.B. Propagierung der Geschwindigkeit und des Ortes nach Zeit t , dabei leichtes Verrauschen
- Für jeden Evidence und für jeden Partikel
- Berechnung der Likelihoods für jeden Partikel
 - vergleiche für jede Hypothese, was gesehen wurde mit dem was hätte gesehen werden müssen

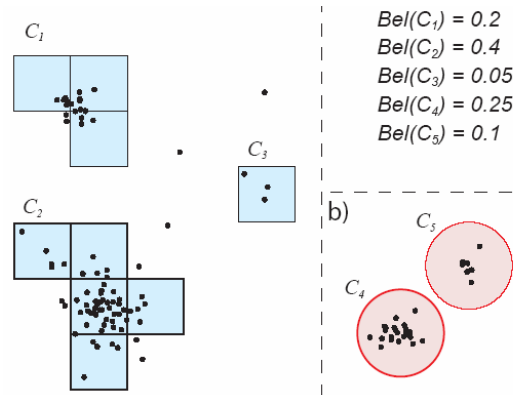
39

Ablauf (2)

- Resampling
 - Je nach Bewertung (Likelihood) werden die Partikel in den nächsten Zustand propagiert

40

Clusterung der Partikel zu Areas of Interest



41

Stand der Forschung

- Unterteilung des Zustandsraumes in Unterräume, die ggf. analytisch bzw. durch Repräsentanten lösbar sind

42

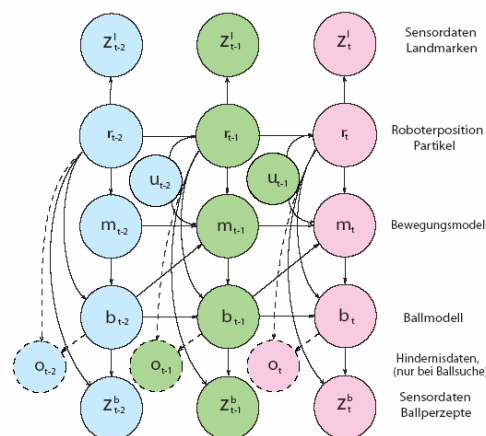
Maß für die Konvergenz

- Entropie H gibt Auskunft über die Konvergenz der Partikelverteilung
- Vorgehen, Rasterung des Spielfeldes in n Unterbereiche
- $H = \sum -p_i * \log p_i$

Wobei p_i die Anzahl der Partikel im Bereich i dividiert durch Gesamtpartikelzahl ist (relative Häufigkeit)

43

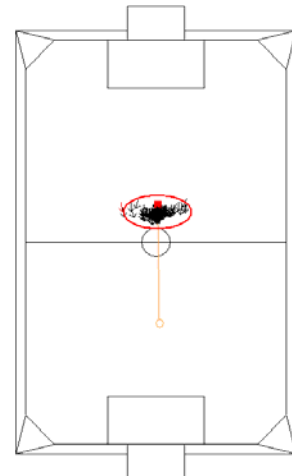
Darstellung als Bayesnetz



44

Berechnung der Hauptachsen einer statistischen Verteilung

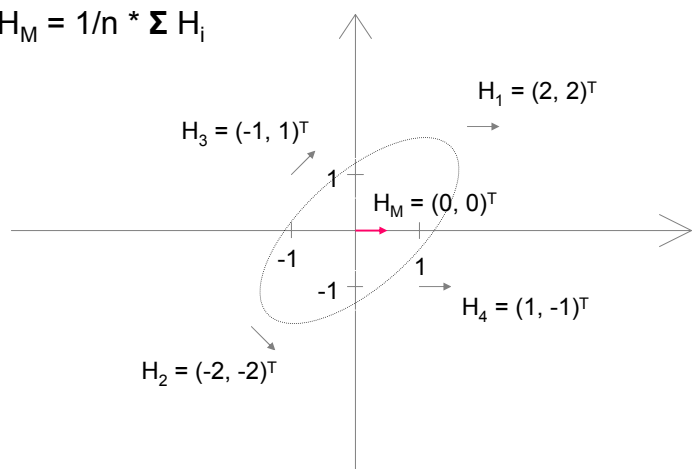
- Annahme – Normalverteilung
- Man möchte Betrag und Richtung der Hauptachsen wissen
- Ziel: Maximale Verringerung der Unsicherheit



45

1. Mittelwert

$$H_M = 1/n * \sum H_i$$



46

2. Berechnung der Eigenwerte für x und y

Ausgangsmatrix:

$$\bullet \quad S = \begin{pmatrix} 2.5 & 1.5 \\ 1.5 & 2.5 \end{pmatrix}$$

Gesucht: alle Eigenwerte λ ,
wobei gilt: $\det(S - I\lambda) = 0$

47

2. Berechnung der Eigenwerte

$$\bullet \quad \det \begin{pmatrix} 2.5 - \lambda & 1.5 \\ 1.5 & 2.5 - \lambda \end{pmatrix} = 0,$$

$$\bullet \quad \text{Also } (2.5 - \lambda)^2 - 1.5^2 = 0 \\ 0 = \lambda^2 - 5\lambda + 4$$

$$\bullet \quad \text{Eigenwerte: } \lambda_1 = 2.5 + 1.5 = 4 \\ \lambda_2 = 2.5 - 1.5 = 1$$

48

3. Berechnung der Eigenvektoren

- Einsetzen der Eigenwerte λ in die Kovarianzmatrix S , größte Eigenwerte zuerst.

$$(S - I \lambda) * \vec{V} = \vec{0}$$

49

3. Berechnung der Eigenvektoren (2)

Berechnung des 1. V , $\lambda = 4$:

$$\begin{aligned} -1.5 * V_{1x} + 1.5 * V_{1y} &= 0 \\ 1.5 * V_{1x} - 1.5 * V_{1y} &= 0 \end{aligned}$$

$$V_{1x} = V_{1y} \quad 0.707$$

Eigenvektor normiert (Betrag = 1): $V_1 = \begin{pmatrix} \quad \\ \quad \end{pmatrix} \quad 0.707$

50

4. Normierung der Eigenvektoren

$$V_2 = \begin{pmatrix} -0.707 \\ 0.707 \end{pmatrix}$$

EVs sind Zeilen der Transf.-matrix
Transformationsmatrix $K = (V_1, V_2)^T$

$$K = \begin{pmatrix} 0.707 & 0.707 \\ -0.707 & 0.707 \end{pmatrix}$$

51

5. Transformation (optional)

$$S' = K * S * K^T$$

(K ist orthonormal, $K^T = K^{-1}$)

$$S' = \begin{pmatrix} 4*0.7 & 4*0.7 \\ -1*0.7 & 1*0.7 \end{pmatrix} * \begin{pmatrix} 0.7 & -0.7 \\ 0.7 & 0.7 \end{pmatrix}$$

52

Transformation (2)

- Nach der Transformation sind die Kovarianzen null

$$S' = \begin{pmatrix} 4 & 0 \\ 0 & 1 \end{pmatrix}$$

53

Zu Beachten

- Rotationsmatrix hat die Form

$$K = \begin{pmatrix} \cos(\alpha) & -\sin(\alpha) \\ \sin(\alpha) & \cos(\alpha) \end{pmatrix}$$

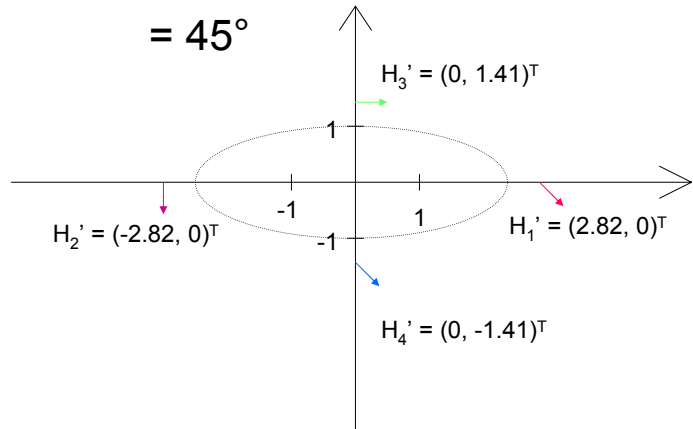
Vorzeichen von K können zeilenweise vertauscht werden (Spiegelung der EVs)

- Ellipsenrotation von $200^\circ = 20^\circ$, schnellere Erreichbarkeiten (Kosten) beachten

54

Nach der Transformation

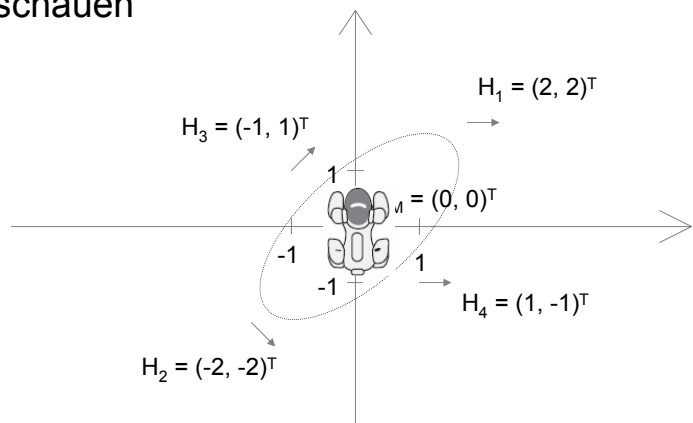
also: $\alpha = \arccos(0.707) = \arcsin(0.707)$
 $= 45^\circ$



55

Also

- 45 Grad nach rechts schauen



56

Zusammenfassung

- Schwierigkeiten bei der Objektmodellierung:
- Eingangsdaten verrauscht durch begrenzte Auflösung, unzureichende Farbklassifizierung, verwackelte Kamerabilder durch Laufunruhen,
- Sichtwinkel begrenzt

57

Zusammenfassung (2)

- Objektmodellierung no
 - Weltmodell
 - Filterung verrauschter Eingangsdaten
 - Akkumulierung von Wissen aus verschiedenen Bildern (z.B. Berechnung der Ballgeschwindigkeit, Selbstlokalisierung)
 - Modellierung von Interdependenzen (Abhängigkeiten) verschiedener Objekte der Roboterumgebung

58

Zusammenfassung (3)

- Satz von Bayes Grundlage für viele wichtige Filterverfahren
- (Kalman, Monte Carlo)
- Forschung in Richtung Wissensverschmelzung durch verschiedene Agenten

59

- Vielen Dank!

60